

MIC을 위한 2선 및 3선 결합 선의 Quasi-TEM Mode 점수계산

○
류 범 김 청 식 진 년 강
단국대학교 국립대학 철학과대학

The calculation of Quasi-TEM Mode parameters of coupled two and three Microstrip line for MIC

Dept. of Electronics Eng., Dankook Univ.

abstract

The normal mode parameters of microstrip coupled lines are determined from the self and mutual capacitance and inductance of microstrip lines. In this paper, these capacitance are computed by using the relaxation method based on Quasi-TEM model for shielded structure. Using these results, the normal mode parameters of two and three microstrip coupled lines are obtained.

八

비대칭 결합구조에 대한 연구는 밴드사람들에 의해 연구 되었다. 비대칭 결합구조에 대한 각 정수는 self 및 mutual 커뮤니티나 인터뷰스로 표시 할수있어(1-3). 이들 값들은 구하는 것이 중요하다. 이들 값들은 Quasi static TEM에 대해서는 Laplace 방정식을 풀거나, Dispersive인 경우에 대해서는 Helmholtz 방정식을 풀어서얻을수 있다. Tripathi와 Chang은 green함수 해석방법을 사용하여 self 및 mutual 커뮤니티를 계산 하였고, Bedair는 전파커뮤니티를 3개의 경우로 나누어 커뮤니티를 구하였다[4]. 최근에도 계속 이어 다른 연구들이 많이 발표되고 있다.

본 논문에서는 차폐판 경우에 relaxation방법에 의한 프로그램을 학장 용접하여 비대칭 2선 결합선로에 대한 각도도 정수와 일파인스를 구하고, 3선 결합선로에 대한 각도도 정수와 일파인스를 구하는 방법을 제시하였다. relaxation방법에 의한 수치계산은 수동시간이 비교적 길지만, 강도율상계 구할수 있어 편리하다. 이들 강도율은 인증하고자 하는 경우에 5~10인 경우 사용하여 사용여부와는 상관없이 하거나

三

1. 2선 경량TEM Quasi TEM 전송

같은 선로에서 전압과 전류에 대한 전송선 방정식은 다음과 같다.

$$\frac{dV}{dt} = -[Z][I] = -jw[L][I] \quad \dots \dots \quad (1-1)$$

$$\frac{dx}{dt} = -[Y][V] = -jw[C][V] \quad \dots \dots \quad (1-2)$$

다음 두식으로부터 선형의 전파상수 및 전입비를 얻을수 있다[6,7].
이때 두개인(C, II mode) 제로드가 심다.

$$\theta_{C, L} = \frac{\omega}{\sqrt{2}} \left[L_{11} C_{11} + L_{22} C_{22} - 2 L_{12} C_{12} \right. \\ \left. \pm \sqrt{(L_{22} C_{22} - L_1 C_{11})^2 + 4(L_{12} C_{12} - L_{22} C_{12})(L_{12} C_{22} - L_{11} C_{12})} \right]^{\frac{1}{2}}$$

$$R_{C,12} = L_{22}C_{22} - L_{11}C_{11}$$

$$\pm \sqrt{\frac{(L_{22}C_{22} - L_{11}C_{11})^2 + 4(L_{12}C_{11} - L_{21}C_{22})(L_{42}C_{22} - L_{41}C_{12})}{2(L_{12}C_{22} - L_{41}C_{12})}}$$

여기서 L_{jk}, C_{jk} 는 Quasi TEM인 경우 self인ductans와
capacitans이고, L_{12}, C_{12} 는 mutual인ductans와 커플리케이션을
나타낸다. 식 (1-1-2)에서 전류에 따라 서로 영향을 미친다.

$$[I] = \frac{q^2}{2} [C] [V] = V_{\perp} [C] [V] \quad \dots \dots \dots (1-5)$$

$$\text{여기서 } [C] = \begin{bmatrix} C_{11} & -C_{12} \\ C_{21} & C_{22} \end{bmatrix}$$

$$V_1 = \frac{w}{2} \in \text{ATAE}(\Omega)$$

$$Z_j^i = \frac{V_j^i}{I_j^i} = \frac{1}{V_m} \cdot \frac{V_j^i}{C_i V_m^i} \quad \dots \dots \dots (1-6)$$

여기서 $J \neq k$ 일 때 C_{jk} 는 $-C_{jk}$ 이고 J 는 모든 C, π 를 나누어 1은 선호 1, 2를 나타낸다. 그리고 $V^c = \begin{bmatrix} 1 \\ R_c \end{bmatrix}$, $V^e = \begin{bmatrix} 1 \\ R_e \end{bmatrix}$

2. self 및 mutual capacitance 계산

일반적인 전송 선로에서 mode 전수 및 임피던스는 self 및 mutual capacitance와 inductance에 의해서 구할 수 있다. 이를 값을 계산하는 것은 복잡하고 용이하지 않다 [4]. 이를 수치해석하기 위하여 Dworsky[5]가 제시한 대장형을

대장 relaxation 프로그램을 2선 비대칭형으로 확장함을 하고 3선 선로에도 적용하였다. 간단히 relaxation 방법을 소개하면 다음과 같다. 우선 field를 Quasi-static 으로 하면 커뮤니케이션은 static 혹은 DC 커뮤니케이션으로 표시할 수 있다.

그림 2-1과 같은 차폐된 전송선의 단면을 각 격자점으로 표시하면

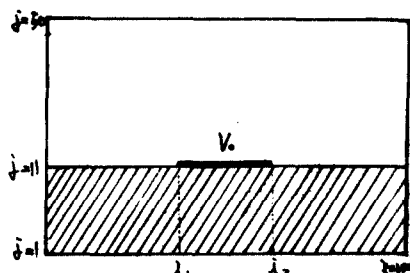
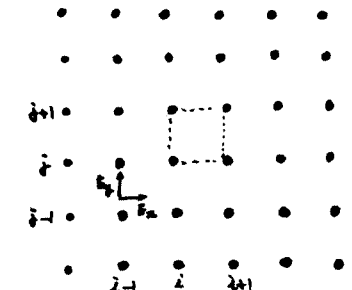


그림 2-1. 차폐된 전송선의 단면 및 격자점

각 격자점 전압은 discrete한 Laplace 방정식으로 표시된다.

$$V_{i+1,j} + V_{i-1,j} + V_{i,j+1} + V_{i,j-1} - 4V_{i,j} = 0 \quad \dots(2-1)$$

그리고, 전개는

$$E_x \approx -\frac{1}{2 \Delta} (V_{i,j+1} - V_{i,j} + V_{i+1,j+1} - V_{i+1,j}) \quad \dots(2-2)$$

$$E_y \approx -\frac{1}{2 \Delta} (V_{i+1,j} - V_{i,j} + V_{i+1,j+1} - V_{i+1,j})$$

그리고, 각 격자점에 저장된 에너지는 다음과 같이 표시된다.

$$\Delta U = \frac{\epsilon}{4} [(V_{i,j} - V_{i+1,j+1})^2 + (V_{i+1,j} - V_{i+1,j+1})^2] \quad \dots\dots(2-3)$$

그리고, 전체 저장된 에너지는

$$U = \sum_{i=1}^{L_{xx}-1} \sum_{j=1}^{L_{yy}-1} \Delta U \quad \dots\dots(2-4)$$

$$\text{여기서 } \Delta = \Delta_x = x_{i+1} - x_i = x_i - x_{i-1} \\ = \Delta y = y_{i+1} - y_i = y_i - y_{i-1}$$

만일 전압이 1v이면 커뮤니케이션은

$$C = 2 U \quad \dots\dots\dots(2-5)$$

위의 식들을 계속 반복하면 각 격자점의 정확한 전위 및 전계 분포를 알 수 있다. 그래서 정확한 커뮤니케이션 값은 계산할 수 있다.

경계면에서 discrete 전압은

$$V_{i,j} = \frac{\epsilon_r V_{i,j+1} + \epsilon_{r2} V_{i,j-1} + \epsilon_{r3} (V_{i-1,j} + V_{i+1,j})}{\epsilon_{r1} + \epsilon_{r2} + 2\epsilon_{r3}} \quad \dots\dots(2-6)$$

$$\text{여기서 } \epsilon_{r3} = \frac{\epsilon_{r1} + \epsilon_{r2}}{2}$$

이 프로그램을 바탕으로 2선 결합 선로에 적용하면

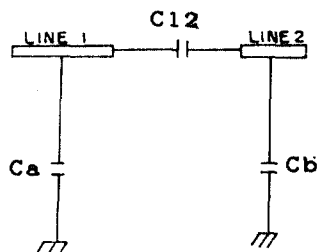


그림 2-2. 2선 커뮤니케이션 등가회로

$$Ca = C_{11} - C_{12}$$

$$Cb = C_{22} - C_{12}$$

line 1에 1v를 인가하여

$$C_{total} = Ca + Cb = C_{11} + C_{22} - 2C_{12} \quad \dots\dots(2-7)$$

$$C_{12} = (Ca + Cb - C_{total}) / 2 \quad \dots\dots(2-8)$$

이 프로그램을 3선 선로에 확장하기 위한 기본이론은 다음과 같다.

대칭 구조라면 $C_{1g} = C_{3g}$ 이고 $C_{12} = C_{23}$ 이다.

세 line에 같은 전위를 인가했을 때 ($V_1 = V_2 = V_3 = 1v$)

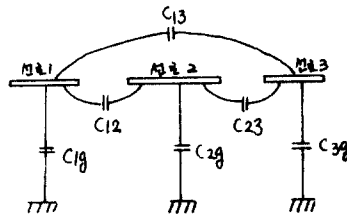


그림 2-3. 3선 커플링 케이시언스 동기회로

$$C_{\text{total}} = 2C_{11} + C_{22} - 4C_{12} - 2C_{13} \quad \dots \dots \quad (2-9)$$

line 2에 0v 인가했을 때 ($V_1=V_3=1v$, $V_2=0v$)

$$C_{\text{total}} = 2C_{11} - 2C_{13} \quad \dots \dots \quad (2-10)$$

여기서 C_{11}, C_{22} 는 각각 선로 (2,3), (1,3)을 0v로
인가했을 때 커플링 케이시언스 값이다.
그리고 $C_{11}, C_{22}, C_{12}, C_{13}$ 의 값들을 위의 식에서 구할
수 있다.

인덕턴스들은 유전체를 공기로 채우고 구현 커플링 케이시언스로 부터 얻는다.

$$L_{11} = \frac{1}{C'_{11} V^2}, \quad L_{22} = \frac{1}{C'_{22} V^2}, \quad L_{12} = \frac{C'_{12}}{C'_{11} C'_{22} V^2}$$

3. 계산결과 및 실험

a. 컴퓨터 프로그램은 FORTRAN-77으로 작성하여 일에서
제시한 self 및 mutual 커플링 케이시언스 값을 차폐한 경우에 계
산하였다. 이를 커플링 케이시언스 값들로 부터 식(1-4)과 식(1-6)
에서 모드정수 및 임피던스를 계산하였다. 이에 의한 결과치는 표
1, 2에 제시하였다.

W/h	Z_{c1}	Z_{ca}	Z_{ba}	Z_{bb}	$V_c (meters)$	$V_b (meters)$	R_c	R_b
1.36	45.35	35.58	31.75	24.91	1.1508	1.2403	1.0842	-0.7238
1.45	43.39	35.64	30.54	25.09	1.1490	1.2398	1.0841	-0.7577
1.54	41.12	35.59	29.57	25.99	1.1525	1.2299	1.0714	-0.8076
1.63	39.50	35.59	28.22	25.71	1.1447	1.2337	1.0321	-0.8776
1.72	37.94	36.07	27.27	25.92	1.1439	1.2311	1.0093	-0.9239
1.81	36.32	36.32	26.21	26.21	1.1426	1.2267	1.	-1.
1.90	35.00	36.37	25.39	26.39	1.1395	1.2264	0.9928	-1.0467
2.00	33.28	36.44	24.61	26.59	1.1389	1.2264	0.9850	-1.0968
2.09	32.84	37.00	23.61	26.60	1.1497	1.2169	0.9641	-1.1685
2.18	31.01	37.47	22.93	27.53	1.1344	1.2147	0.8830	-1.3684

표 1. $\epsilon_r=10$, $s/h=0.18$, $w/h=1.81$ 에 대한 w/h 변화
에 따른 모드 정수 및 임피던스 (2선 결합 선로)

W/h	Z_{b1}	Z_{b2}	Z_{12}	Z_{c1}	Z_{ca}	R_b	R_c
1.714	73.73	118.64	73.30	61.80	46.09	1.260	-0.980
1.857	72.75	120.17	68.83	64.74	44.04	1.278	-0.896
2.000	73.78	120.40	62.70	65.85	40.47	1.276	-0.810
2.143	73.81	120.82	53.81	67.33	35.28	1.272	-0.700
2.286	73.82	125.54	44.96	70.04	30.74	1.363	-0.526
2.429	73.83	129.09	37.77	71.97	26.32	1.429	-0.416

표 2. $\epsilon_r=2.55$, $s/h=0.428$, $w/h=0.857$ 에 대한
 w/h 변화에 따른 모드 정수 및 임피던스 (3선 결합 선로)

b. 실험

계산결과값을 확인하기 위해서 유전율이 5.1인 기판($h=2.55$)
위에 결합임피던스가 50옴인 대칭선로에 대한 결합률을 살펴보았다.
 $s=0.463$, $w=9.88$ [mm]

결합률이 $1(\lambda/4)$ 을 중심주파수 $f_c=4$ (GHz)에 맞
도록 설계하면 그림(3-1)과 같다.

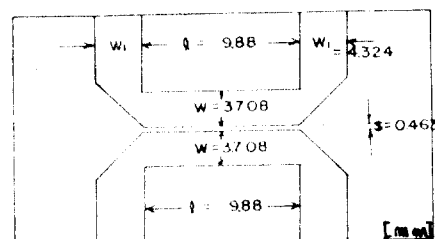


그림 3-1. 결합기의 표면도(선로의 두께는 무시)

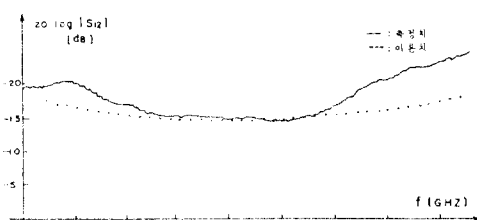


그림 3-2. 결합도(coupling) 측정치 및 이론치

그림(3-2)에서 중심주파수 $f_c=4$ (GHz)에서 결합도가 이론치와
실험치가 일치함을 알 수 있고 대비록에 있어서도 3(GHz)에서
5(GHz) 사이에서 이론치와 실험치가 일치함을 알 수 있다.
기타 주파수 대비에서는 다소 차이가 나타나는데 이는蚀刻
(etching)에 의한 마이크로 스트립선의 치수 오차 및 기판의 tangent
loss에 의한 손실 및 주파수 특성이 양호하지 않기 때문에
에 실린 오차로 해석된다.

결론

일반 전송선로에서 모드 정수 및 임피던스는 커플링 케이시언스나 이론치
로부터 구할 수 있으나, 이를 값은 계산하는 것은 복잡하고 용이하지
않다. 그러나 본문에서 제시한 수치해석에 의한 프로그램을 이용하면
쉽게 구할 수 있다.

본 프로그램은 차폐한 경우에 대해서 적용되었으나 양쪽 차폐면은
차폐면을 물리하면 그 영향을 무시할 수 있음을 알았다.
2선 결합선로에 대한 계산값을 실험으로 비교하여 이론치와 거의
일치함을 보았다. 3선 결합선로에 대한 확장은 다로 미한다.
본 논문에서 제시한 프로그램은 2선 및 3선 결합선로로 본만 아니라
결합기 및 팬트를 설계하는데 유용할 것이라 믿는다.

* Reference *

1. R.A.Special and V.K.Tripathi,"Wave modes and parameter matrices of non symmetrical coupled lines in a nonhomogeneous medium",Int.J.Electron.,Vol. 40,no.4,pp.371-375,1976
2. V.K.Tripathi and C.L.Chane"Quasi-TEM parameters of nonsymmetrical coupled microstrip lines",Int.J.Electronics,Vol.45,no.2,pp.215-223,1978
3. J.L.Allen,"Non-symmetrical coupled lines in an inhomogeneous dielectric medium",Int.J.electronics, Vol.38,pp.337-347,Mar.,1975
4. S.S.Bedair,"Characteristic of some asymmetrical coupled transmission line",IEEE Trans.,Vol.MTT-32, No.1,pp.108-110,Jan,1984
5. Lawrence N.Dworsky,"Modern transmission line theory and application", Wiley interscience publication
6. V.K.Tripathi,"Asymmetric coupled transmission lines in an inhomogeneous dielectric medium",IEEE Trans.,Vol.MTT-23 ,pp.734-739,Sep.1975
7. V.K.Tripathi,"Equivalent circuits and characteristics of inhomogeneous nonsymmetrical coupled line two port circuits",IEEE Trans.,Vol.MTT-25, pp.140-142,Febr.1977